

京都大学原子炉実験所

桂山幸典

正員・福井正美

### §-1 研究の目的および方法

一般の浅層地下水中に原子炉施設等から放出される放射性イオンが混入することは予想され難いが、深層への漏液処分や、環境中における廃棄物の保管施設や設備の不備あるいは災害等による事故から、飽和帶水砂層における放射性核種の挙動が問題となる。一般に地下水の流れは遅く、核種の挙動はひどく複雑で、崩壊の効果があり、さらに事故時の場合には連続的な汚染状態ではないことなどから、対象とする範囲には広域にわたる大難把り解析より、小規模な範囲を定量的に把握することが必ず必要であろう。従来、室内実験において吸着反応モデルの検討を行なう時、その妥当性を検証する実験の境界条件として、一定濃度の連続流入源が用いられてきた。この場合、大難把りのみならず、単位砂量当たりの核種の液相濃度に対する平衡吸着量が既知であれば、その核種の移動速度は液の浸入量から明らかなところであり、それだけでは一定濃度の連続流入条件以外の流出応答につれて、いくつかの不適合な結果を生ずる。逆にいえば、一定濃度連続流入源は、境界条件として反応モデルを検討するには单调にすぎないものである。そこで、本研究では矩形波状の流入濃度と境界条件にあることにより、その破滅曲線のピーク高さ、ピーク位置および形状についての検討を行なった。この場合、反応モデルとしては、地下水中に主として存在するCaイオンとの交換吸着による場合とSr<sup>90</sup>イオンにより検証し、さらにそれだけでは説明できないに、粘土鉱物の細部へ拡散して物理的な吸着を含む場合を以下の解析により行なひ、Cs<sup>137</sup>イオンの挙動を予測した。またCs<sup>137</sup>濃度については、放射性廃水が"Carrier Free"の状態ではないことを、使用清潔料にレセプト例えれば、天然UO<sub>2</sub>約1トンを出力2MW<sup>2)</sup>×3000MW/D/T<sup>2)</sup>燃焼灰に降り生じるP<sup>37</sup>量がかなり多い(=Sr<sup>90</sup>100gr, Cs<sup>137</sup>300gr程度)などから、数種のCarrier濃度を行なった。

### §-2 解析および実験結果と考察

一般に微少体積の多孔性媒質中ににおけるトレーサー流體の質量保存則と、Langmuir型の物理吸着およびイオン交換吸着の反応速度式はつきのようにならわれる。

$$\frac{\partial C_A}{\partial t} + \frac{(1-p)}{p} \left( \frac{\partial R}{\partial t} + \frac{\partial S}{\partial t} \right) = D \frac{\partial^2 C_A}{\partial x^2} - V \frac{\partial C_A}{\partial x} \quad (1)$$

$$\frac{\partial R}{\partial t} = k_1 P C_A (R_{\infty} - R) - k'_1 R \quad (2)$$

$$\frac{\partial S}{\partial t} = k_2 P C_A (n_{\infty} - S) - k'_2 C_B P S \quad (3)$$

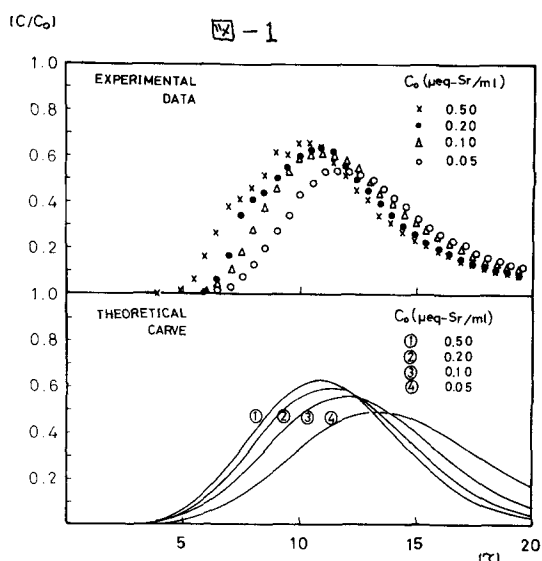
ここで CA, CB : A, Bイオンの液相濃度  
R, S : 物理吸着およびイオン交換吸着による  
固相濃度 R<sub>∞</sub>, S<sub>∞</sub> : 各々の平衡濃度

P : 壓強率 n<sub>∞</sub> : イオン交換容量

F : 砂密度 k : 反応速度定数

D : 分散係数 V : 固隙内平均流速

(2), (3)式は非線形方程式であり、(1)式を連立させて  
解析解は得られないが、これには差近似法を行ない、



Implicit法<sup>1)</sup>を安定な差分解を得た。実験条件とレバは次に示す通りである。  $P = 0.4$   $\delta = 2.58 [g/cm^3]$   
 $V = 4.17 \times 10^{-2} [\text{cm/sec}]$   $L = 20 [\text{cm}]$   $n_{\text{in}} = 2.5 [\mu\text{eq}/\text{gr}]$  多孔性媒質内のメカニカルな分散<sup>2)</sup>は実測定数  $D/V$  とすれば、充填材は豊浦標準砂を用いた  $k_2 = 0.074$  とした。 $\text{Sr}^{+}$ の濃度は  $0.05, 0.1, 0.2, 0.5 (\mu\text{eq}/\text{ml})$  の原液とし、トレーサーとして  $^{85}\text{Sr}, ^{137}\text{Cs}$  の放射能濃度が  $10^{-2} \mu\text{Ci}/\text{ml}$  とするべく調整して用いた。図-1は、 $\text{Sr}^{+}$ 濃度が  $0.05 \mu\text{eq}/\text{ml}$  の場合と上記の原液を矩形波状にカラム間隙水量の5倍として流入させた場合の流出応答を、1式と交換して3式吸着速度式の解析結果と比較したものであるが、破過曲線の形状は両者は若干 tailing 現象が示される。これは、砂粒子間にイオンが物理的にトラップされ、流出するのに多少時間かかるものと思われるが、全般的には、前者は「妥当」であろう。図-2は、過去に示された以下の4種類のモデル<sup>3) 4) 5) 6)</sup>と、上記の解析結果と部分的に物理吸着を併用する場合の差分解<sup>7)</sup>、 $\text{Cs}^{+}$ を  $0.05 \mu\text{eq}/\text{ml}$  の濃度で間隙水の10倍量を流入させた時の実験結果と比較したものである。

- 1)  $n = KC$  (Henry)
- 2)  $n = K_1 C - K_2 C^2 + K_3$  (Houghton) ( $C/\text{Co}$ )
- 3)  $\frac{dn}{dt} = k(KC - n)$  (Lapidus)
- 4)  $\frac{dn}{dt} = k(K_1 C - K_2 C^2 + K_3 - n)$
- 5)  $\frac{dn}{dt} = K_1 C_A n_B - K_2 C_B n_A, C_A + C_B = C_0, n_A + n_B = n_{\text{in}}$  (Hiester)
- 6) Present Work

この結果から明らかなように、疑似平衡を仮想して反応の速度論的な考え方(1), 2式<sup>2)</sup>は、破過曲線の形状は、これを変える Factor の分散項の  $dc$  によるもので、尖鋭となる。3式<sup>3) 4) 5) 6) 7)</sup>は、図-1、図-2の結果と一致する。脱着過程が若干のずれがあるが、移動速度が内部平衡を保つたる挙動であるが、矩形波状の流入によっての反応速度の程度により平坦化されて流出される形となり、これが tailing 現象の説明ができる。Cs<sup>+</sup>の場合には Sr<sup>+</sup>よりこの現象が著しく、單に充填粒子間にイオンがトラップされる時間遅れだけではなく、その現象の原因は、一部充填粒子の内部に吸着されているのが、外の间隙へ拡散脱着してきるものと考えられ、それが実験的に示された。従って、6)の場合に1式<sup>1)</sup>は  $(C/C_0)^{-1}$  と脱着が遅いことを  $k_1'/k_1 = 0.002$  として計算した。この図、液相の濃度分布を図-3に示す。図-4は上記の4種類の Cs 原液を、カラム間隙水量の10倍流入させた場合の破過曲線であるが、低濃度の場合ほど外部吸着量に比べて内部吸着量の比率が高くなるため、tailing の効果も大きいが、高濃度でのその影響は少らず、Cs<sup>+</sup>の挙動が1式<sup>1)</sup>は定量的に予測できる。

参考文献 1) 原 実尚 核物質生成物の放出と移行, S. 42年

2) 福井 放射性イオンの帶水砂層における吸着について,

第26回年次学術講演会講演集, S. 46年

3) 桂山、福井 多孔性媒質中の流れ軸方向の分散現象

1=拡散式の適用について,

第27回年次学術講演会講演集, S. 47年

